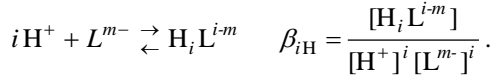
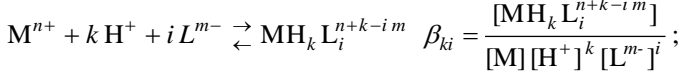
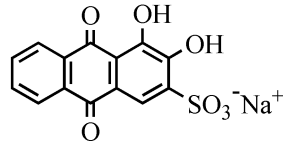


**Константы устойчивости комплексов ионов металлов
с металлохромными индикаторами**

Во всех случаях приведены полные константы устойчивости комплексов β_{ki} и полные константы протонирования для лигандов β_{iH} , относящиеся к равновесиям:

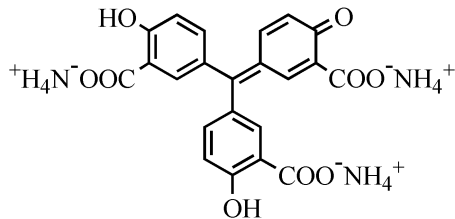


1. Ализариновый красный S



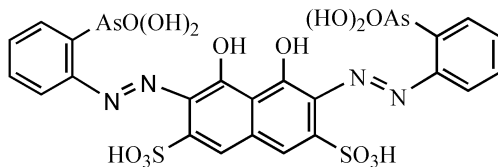
Форма	$lg\beta_{iH}$	M^{n+}	Форма	$lg\beta_i$
HL^{2-}	11,1	Be^{2+}	BeL^-	10,96
H_2L^-	17,2	Zr^{4+}	$Zr(OH)_2L^-$	49,0

**2. Алуминон, аммониевая
соль ауринтрикарбоновой
кислоты**



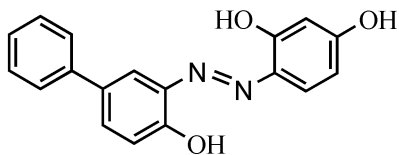
M^{n+}	Форма	$lg\beta_i$	M^{n+}	Форма	$lg\beta_i$
Be^{2+}	BeL^-	4,5	Fe^{3+}	FeL	4,7
Cu^{2+}	CuL_2^{4-}	8,8	UO_2^{2+}	UO_2L^-	4,8

3. Арсеназо III



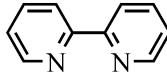
Форма	$lg\beta_{iH}$	M^{n+}	Форма	$lg\beta_i$
HL^{7-}	12,53	Gd^{3+}	GdH_5L	51,59
H_2L^{6-}	23,91	La^{3+}	LaH_5L	51,71
H_3L^{5-}	32,48	Lu^{3+}	LuH_5L	51,07
H_4L^{4-}	39,35	Nd^{3+}	NdH_5L	51,65
H_5L^{3-}	43,86	Sc^{3+}	ScH_5L	54,58
H_6L^{2-}	47,58	Y^{3+}	YH_5L	51,22
H_7L^{-}	50,51	Yb^{3+}	YbH_5L	51,09
H_8L	52,16			

4. 2-(2,4-Дигидроксифенилазо)-5-фенил-2-гидроксибензол, HPBR



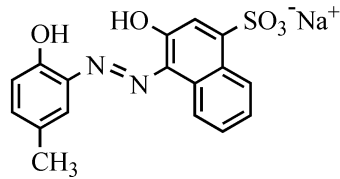
Форма	$lg\beta_{iH}$	M^{n+}	Форма	$lg\beta_i$
HL^{2-}	11,4	Ca^{2+}	CaL^{-}	3,1
H_2L^{-}	19,5	Mg^{2+}	MgL^{-}	5,1
H_3L	26,2			

5. 2,2'-Дипиридил



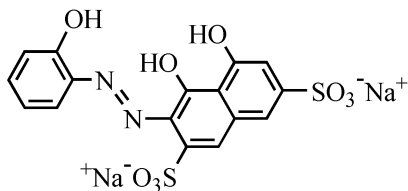
H ⁺	Форма	$lg\beta_{iH}$	M ⁿ⁺	Форма	$lg\beta_i$	M ⁿ⁺	Форма	$lg\beta_i$	
	HL ⁺	4,47	Cu ²⁺	CuL ²⁺	8,0	Mn ²⁺	MnL ²⁺	2,6	
M ⁿ⁺	Форма	$lg\beta_i$		CuL ₂ ²⁺	13,6		MnL ₂ ²⁺	4,6	
Ag ⁺	AgL ⁺	3,03		CuL ₃ ²⁺	17,08		MnL ₃ ²⁺	6,3	
Cd ²⁺	AgL ₂ ⁺	6,67	Fe ²⁺	FeL ²⁺	4,4	Ni ²⁺	NiL ²⁺	7,13	
	CdL ²⁺	4,12		FeL ₂ ²⁺	8,0		NiL ₂ ²⁺	14,01	
	CdL ₂ ²⁺	7,62		FeL ₃ ²⁺	17,6		NiL ₃ ²⁺	20,54	
Co ²⁺	CdL ₃ ²⁺	10,22	Hg ²⁺	HgL ²⁺	9,64	Pb ²⁺	PbL ²⁺	2,9	
	CoL ²⁺	6,06		HgL ₂ ²⁺	16,74		Zn ²⁺	ZnL ²⁺	5,3
	CoL ₂ ²⁺	11,42		HgL ₃ ²⁺	19,54		ZnL ₂ ²⁺	9,83	
	CoL ₃ ²⁺	16,02				ZnL ₃ ²⁺	13,63		

6. Кальмагит, натриевая соль
1-(2-окси-5-метилфенилазо)-2-
нафтол-4-сульфокислоты



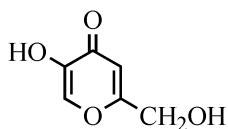
Форма	$lg\beta_{iH}$	M ⁿ⁺	Форма	$lg\beta_i$
HL ²⁻	12,4	Ca ²⁺	CaL ⁻	6,1
H ₂ L ⁻	20,5	Mg ²⁺	MgL ⁻	8,1
		Th ⁴⁺	ThL ₂ ²⁻	33,2

7. Кислотный хромовый темно-синий, динатриевая соль 2-[(2-гидроксифенил)азо]-1,8-дигидроксинафталин-3,6-дисульфокислоты



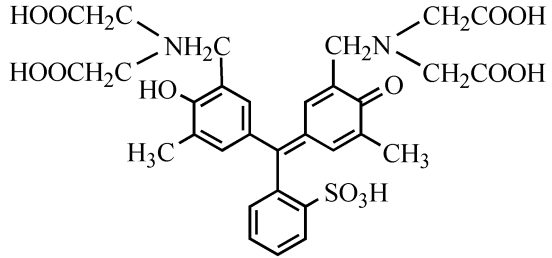
Форма	$lg\beta_{iH}$	M^{n+}	Форма	$lg\beta_i$	M^{n+}	Форма	$lg\beta_i$
HL^{4-}	12,4	Ba^{2+}	BaL_2^{8-}	6,2	Sr^{2+}	SrL_2^{8-}	7,11
H_2L^{3-}	21,7	Ca^{2+}	CaL_2^{8-}	9,3	Zn^{2+}	ZnL_2^{8-}	10,5
H_3L^{2-}	29,3	Mg^{2+}	MgL_2^{8-}	8,5			

8. Койевая кислота, 5-гидрокси-2-гидрокси-метил-γ-пирон



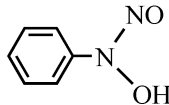
H^+	Форма	$lg\beta_{iH}$	M^{n+}	Форма	$lg\beta_i$	M^{n+}	Форма	$lg\beta_i$
	HL	7,8	Cu^{2+}	CuL^+	6,6	Mg^{2+}	MgL^+	3,0
				CuL_2	11,8	Ni^{2+}	NiL^+	4,9
M^{n+}	Форма	$lg\beta_i$						
Al^{3+}	AlL^{2+}	7,7	Fe^{3+}	FeL^{2+}	9,2		NiL_2	8,7
	AlL_2^+	14,2		FeL_2^+	17,2	UO_2^{2+}	UO_2L^+	7,0
	AlL_3	19,5	Fe^{3+}	FeL_3	24,4		UO_2L_2	12,6
Ca^{2+}	CaL^+	2,5	La^{3+}	LaL^{2+}	5,1		$UO_2L_3^-$	16,1
Cd^{2+}	CdL^+	4,6		LaL_2^+	9,3	Zn^{2+}	ZnL^+	4,9
							ZnL_2	9,1

**9. Ксиленоловый
оранжевый**



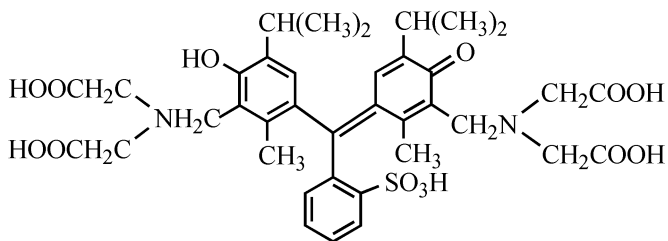
H ⁺	Форма	$lg\beta_{iH}$	M ⁿ⁺	Форма	$lg\beta_{ki}$	M ⁿ⁺	Форма	$lg\beta_{ki}$
	HL ⁵⁻	12,58	Ca ²⁺	CaL ⁴⁻	8,65	Sc ³⁺	ScHL ²⁻	31,10
	H ₂ L ⁴⁻	23,04		CaHL ³⁻	19,05		ScH ₂ L ⁻	34,74
	H ₃ L ³⁻	29,44		CaH ₂ L ²⁻	25,55	Sr ²⁺	SrL ⁴⁻	7,71
	H ₄ L ²⁻	32,67	Ga ³⁺	GaH ₂ L ⁻	36,10		SrHL ³⁻	17,67
	H ₅ L ⁻	35,25	In ³⁺	InH ₂ L ⁻	32,68		SrH ₂ L ²⁻	24,82
	H ₆ L	36,40	La ³⁺	LaHL ²⁻	23,95	Th ⁴⁺	ThH ₂ L	34,93
M ⁿ⁺	Форма	$lg\beta_{ki}$	Lu ³⁺	LuHL ²⁻	26,37	Y ³⁺	YHL ²⁻	25,09
Ba ²⁺	BaL ⁴⁻	6,67	Mg ²⁺	MgL ⁴⁻	9,02	Zn ²⁺	ZnH ₂ L ²⁻	28,76
	BaHL ³⁻	17,27		MgHL ³⁻	19,33			
	BaH ₂ L ²⁻	24,60		MgH ₂ L ²⁻	25,67			

10. Купферон



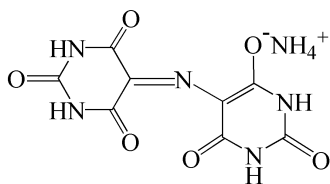
Форма	$lg\beta_{iH}$	M ⁿ⁺	Форма	$lg\beta_i$	M ⁿ⁺	Форма	$lg\beta_i$
HL	4,16	La ³⁺	LaL ₃	12,9	Th ⁴⁺	ThL ₄	27,0
		Th ⁴⁺	ThL ₂ ²⁺	14,6	UO ₂ ²⁺	UO ₂ L ₂	11,0

11. Метил-тимоловый синий



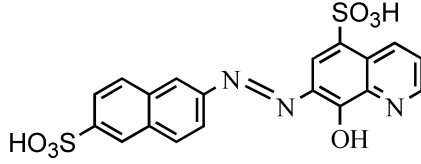
Форма	$lg\beta_{iH}$	M^{n+}	Форма	$lg\beta_{ki}$	M^{n+}	Форма	$lg\beta_{ki}$		
HL^{5-}	13,4	Ba^{2+}	BaL^{4-}	6,93	Mg^{2+}	MgL^{4-}	8,87		
H_2L^{4-}	24,6		$BaHL^{3-}$	18,13		$MgHL^{3-}$	19,7		
H_3L^{3-}	32,0		BaH_2L^{2-}	26,2		MgH_2L^{2-}	26,7		
H_4L^{2-}	35,8		Ca^{2+}	CaL^{4-}		8,25	Sr^{2+}	SrL^{4-}	7,05
H_5L^{-}	39,1			$CaHL^{3-}$		19,15		$SrHL^{3-}$	18,15
H_6L	42,1			CaH_2L^{2-}		26,5		SrH_2L^{2-}	26,1

12. Мурексид, аммониевая соль пурпурной кислоты



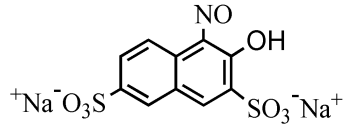
H^+	Форма	$lg\beta_{iH}$	M^{n+}	Форма	$lg\beta_{ki}$	M^{n+}	Форма	$lg\beta_{ki}$		
	HL^{2-}	10,9	Ce^{3+}	CeH_2L^{2+}	23,75	La^{3+}	LaH_2L^{2+}	23,53		
	H_2L^{-}	20,1		Cd^{2+}	CdH_2L^{+}		24,3	Ni^{2+}	NiH_2L^{+}	23,46
M^{n+}	Форма	$lg\beta_{ki}$	Co^{2+}	CoH_2L^{+}	22,56	Sc^{3+}	ScH_2L^{2+}	24,60		
Ca^{2+}	CaL^{-}	5,0	Cu^{2+}	CuH_2L^{+}	25,1	Y^{3+}	YH_2L^{2+}	23,46		
	$CaHL$	14,5		In^{3+}	InH_2L^{2+}		24,71	Zn^{2+}	ZnH_2L^{+}	23,2
	CaH_2L^{+}	22,7								

**13. Нафтилазоксин 6S,
7-(6-сульфо-2-нафтил-
азо)-8-оксихинолин-5-
сульфокислота**



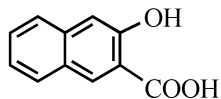
Форма	$lg\beta_{iH}$	M^{n+}	Форма	$lg\beta_i$
HL^2	7,4	Cd^{2+}	CdL^-	6,3
H_2L^-	10,5	Cu^{2+}	CuL^-	10,4
			CuL_2^{4-}	19,4
		Zn^{2+}	ZnL^-	7,2

**14. Нитрозо-R-соль, динатриевая
соль 1-нитрозо-2-нафтол-3,6-
дисульфокислоты**



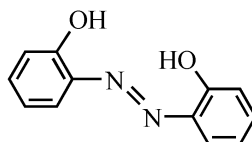
H^+	Форма	$lg\beta_{iH}$	M^{n+}	Форма	$lg\beta_i$	M^{n+}	Форма	$lg\beta_i$	
	HL^{2-}	6,9	La^{3+}	LaL_2^{3-}	7,83	Pb^{2+}	PbL_2^{4-}	7,37	
				LaL_3^{6-}	11,24	Y^{3+}	YL	4,48	
M^{n+}	Форма	$lg\beta_i$	Mn^{2+}	MnL^-	2,7		YL_2^{3-}	7,83	
Cd^{2+}	CdL^-	3,4		Ni^{2+}	NiL^-	6,9		YL_3^{6-}	11,29
	CdL_2^{4-}	6,0			NiL_2^{4-}	12,5	Zn^{2+}	ZnL^-	4,5
Cu^{2+}	CuL^-	7,7		NiL_3^{7-}	17,3		ZnL_2^{4-}	7,1	
	CuL_2^{4-}	15,0	Pb^{2+}	PbL^-	4,64				
La^{3+}	LaL	4,37							

15. 3-гидрокси-2-нафтойная кислота



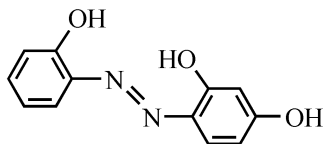
Форма	$lg\beta_{iH}$	M^{n+}	Форма	$lg\beta_i$	M^{n+}	Форма	$lg\beta_i$
HL^-	12,5	Al^{3+}	AlL^+	13,4	Zn^{2+}	ZnL	8,1
H_2L	15,0	Cu^{2+}	CuL	9,7		ZnL_2^{2-}	16,0
			CuL_2^{2-}	19,1			

16. 1-(2-гидроксифенилазо)-2-гидроксибензол



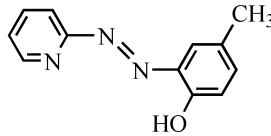
Форма	$lg\beta_{iH}$	M^{n+}	Форма	$lg\beta_i$	M^{n+}	Форма	$lg\beta_i$
HL^-	11,5	Mg^{2+}	MgL	6,4	Ga^{3+}	GaL^+	15,9
H_2L	19,3	Al^{3+}	AlL^+	16,0		GaL_2^-	24,4
			AlL_2^-	22,6	In^{3+}	InL^+	16,0
						InL_2^-	21,6

17. 4-(2-гидроксифенилазо)резорцин, НВР



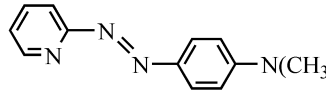
Форма	$lg\beta_{iH}$	M^{n+}	Форма	$lg\beta_i$
HL^{2-}	12,2	Ca^{2+}	CaL^-	3,4
H_2L^-	20,9	Mg^{2+}	MgL^-	4,7
H_3L	27,5			

18. ПАК, 2-(2-пиридилазо)-4-метилфенол



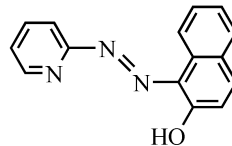
Форма	$lg\beta_{iH}$	M^{n+}	Форма	$lg\beta_i$	M^{n+}	Форма	$lg\beta_i$
HL	9,15	Cu^{2+}	CuL^+	13,7	Zn^{2+}	ZnL^+	8,36
H_2L^+	11,75		CuL_2	32,0		ZnL_2	16,66
		Ni^{2+}	NiL_2	22,4			

19. ПАМА, 1-(2-пиридилазо)-4-диметиламинобензол



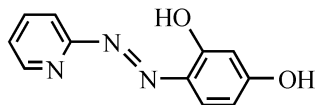
Форма	$lg\beta_{iH}$	M^{n+}	Форма	$lg\beta_i$	M^{n+}	Форма	$lg\beta_i$
HL^+	4,5	Co^{2+}	CoL^{2+}	3,33	Mn^{2+}	MnL^{2+}	0,7
H_2L^{2+}	6,5	Cu^{2+}	CuL^{2+}	5,21	Ni^{2+}	NiL^{2+}	4,24
		Hg^{2+}	HgL^{2+}	5,06	Zn^{2+}	ZnL^{2+}	2,36

20. ПАН, 1-(2-пиридилазо)-2-нафтол



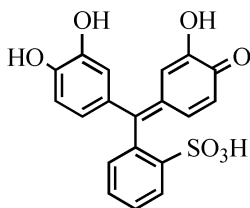
H^+	Форма	$lg\beta_{iH}$	M^{n+}	Форма	$lg\beta_i$	M^{n+}	Форма	$lg\beta_i$
	HL	12,2	Eu^{3+}	EuL^{2+}	12,39	Ni^{2+}	NiL^+	12,7
	H_2L^+	14,1		EuL_2^+	23,80		NiL_2	25,3
M^{n+}	Форма	$lg\beta_i$		EuL_3	34,23	Zn^{2+}	ZnL^+	11,2
				EuL_4^-	43,68		ZnL_2	21,7
Co^{2+}	CoL^+	12,15	Mn^{2+}	MnL^+	8,5			
	CoL_2	24,16		MnL_2	16,4			
Cu^{2+}	CuL^+	16						

21. ПАР, 4-(2-пиридилазо)-резорцин



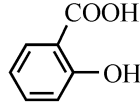
H ⁺	Форма	$lg\beta_{iH}$	M ⁿ⁺	Форма	$lg\beta_{ki}$	M ⁿ⁺	Форма	$lg\beta_{ki}$
	HL ⁻	11,9	Cu ²⁺	CuHL ⁺	29,4	Pb ²⁺	PbL ₂ ²⁻	26,6
	H ₂ L	17,5	Dy ³⁺	DyL ⁺	10,6		PbHL ⁺	24,8
	H ₃ L ⁺	20,6		DyHL ²⁺	23,4	Tl ³⁺	TlL ⁺	9,8
M ⁿ⁺	Форма	$lg\beta_{ki}$	Ga ³⁺	GaL ₂ ⁻	30,3		TlL ₂ ⁻	19,6
Al ³⁺	AlL ⁺	11,5		GaHL ²⁺	26,8	UO ₂ ²⁺	UO ₂ L	12,5
Bi ³⁺	BiHL ²⁺	30,1	In ³⁺	InL ⁺	9,6		UO ₂ L ₂ ²⁻	20,9
Cd ²⁺	CdL ₂ ²⁻	21,6		InL ₂ ⁻	19,2	Y ³⁺	YL ⁺	9,1
	CdHL ⁺	23,4	Mn ²⁺	MnL	9,7		YHL ²⁺	22,4
Co ²⁺	CoL	10,0		MnL ₂ ²⁻	18,9	Zn ²⁺	ZnL	25,3
	CoL ₂ ²⁻	17,1	Ni ²⁺	NiL	13,2		ZnHL ⁺	24,5
Cu ²⁺	CuL ₂ ²⁻	38,2		NiL ₂ ²⁻	26,0			

22. Пирокатехиновый фиолетовый



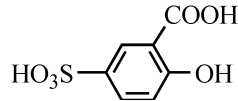
Форма	$lg\beta_{iH}$	Форма	$lg\beta_{iH}$	M ⁿ⁺	Форма	$lg\beta_i$
HL ³⁻	11,7	H ₃ L ⁻	29,3	Bi ³⁺	BiL ⁻	27,1
H ₂ L ²⁻	21,5			Th ⁴⁺	ThL	23,4

**23. Салициловая кислота,
2 - гидроксibenзойная кислота**



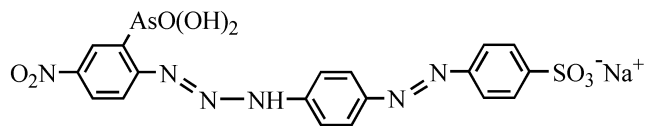
H ⁺	Форма	lgβ _н	M ⁿ⁺	Форма	lgβ _i	M ⁿ⁺	Форма	lgβ _i
	HL ⁻	13,6	Cu ²⁺	CuL	10,6	Mn ²⁺	MnL	5,9
	H ₂ L	16,6		CuL ₂ ²⁻	18,5		MnL ₂ ²⁻	9,8
M ⁿ⁺	Форма	lgβ _i	Fe ²⁺	FeL	6,6	Ni ²⁺	NiL	7,0
Cd ²⁺	CdL	5,6		FeL ₂ ²⁻	11,3		NiL ₂ ²⁻	11,8
Co ²⁺	CoL	6,7	Fe ³⁺	FeL ⁺	16,4	UO ₂ ²⁺	UO ₂ L	11,3
	CoL ₂ ²⁻	11,4		FeL ₂ ⁻	28,3		UO ₂ L ₂ ²⁻	20,7
					FeL ₃ ³⁻	36,8	Zn ²⁺	ZnL

**23. Сульфосалициловая кислота,
2-гидрокси-5-сульфобензойная
кислота**



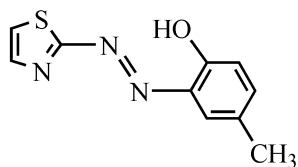
H ⁺	Форма	lgβ _н	M ⁿ⁺	Форма	lgβ _i	M ⁿ⁺	Форма	lgβ _i
	HL ²⁻	11,7	Co ²⁺	CoL ⁻	6,1	Ga ³⁺	GaL	7,6
	H ₂ L ⁻	14,3		CoL ₂ ⁴⁻	9,7		GaL ₂ ³⁻	13,7
M ⁿ⁺	Форма	lgβ _i	Cu ²⁺	CuL ⁻	9,5	Mn ²⁺	MnL ⁻	5,2
Al ³⁺	AlL	13,2		CuL ₂ ⁴⁻	16,4		MnL ₂ ⁴⁻	8,2
Be ²⁺	AlL ₂ ³⁻	22,9	Fe ²⁺	FeL ⁻	5,9	Ni ²⁺	NiL ⁻	6,4
	AlL ₃ ⁶⁻	29,0		FeL ₂ ⁴⁻	9,9		NiL ₂ ⁴⁻	10,2
	BeL ⁻	11,7	Fe ³⁺	FeL	14,6	UO ₂ ²⁺	UO ₂ L ⁻	11,1
BeL ₂ ⁴⁻	20,7	FeL ₂ ³⁻		25,2	UO ₂ L ₂ ⁴⁻		19,2	
Cd ²⁺	CdL ⁻	16,7		FeL ₃ ⁶⁻	32,1	Zn ²⁺	ZnL ⁻	6,3
	CdL ₂ ⁴⁻	29,1					ZnL ₂ ⁴⁻	10,7

25. Сульффаразен



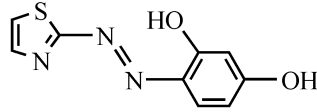
Форма	$lg\beta_{iH}$	M^{n+}	Форма	$lg\beta_{ki}$
HL^{2-}	11,7	Cd^{2+}	$CdHL$	18,1
H_2L^{-}	20,2	Ni^{2+}	$NiHL$	17,0
H_3L	25,3	Pb^{2+}	$PbHL$	22,2
		Zn^{2+}	$ZnHL$	18,5

26. ТАК,
2-(2-тиазолилазо)-п-крезол



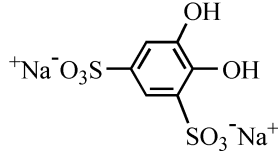
Форма	$lg\beta_{iH}$	M^{n+}	Форма	$lg\beta_i$	M^{n+}	Форма	$lg\beta_i$
HL	8,95	Co^{2+}	CoL_2	14,5	Ni^{2+}	NiL^+	8,3
		Cu^{2+}	CuL^+	10,5		NiL_2	16,2
			CuL_2	16,3	Zn^{2+}	ZnL^+	6,1
		Mn^{2+}	MnL_2	7,6		ZnL_2	11,5

**27. ТАР,
4-(2-тиазолилазо)резорцин**



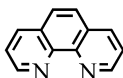
H ⁺	Форма	lgβ _{iH}	M ⁿ⁺	Форма	lgβ _{ki}	M ⁿ⁺	Форма	lgβ _{ki}
	HL ⁻	10,0	Cd ²⁺	CdHL ⁺	17,0	Ni ²⁺	NiL	10,0
	H ₂ L	16,5		CdL ₂ ²⁻	16,0		NiL ₂ ²⁻	17,3
	H ₃ L ⁺	17,5	Cu ²⁺	CuHL ⁺	21,6	Pb ²⁺	PbHL ⁺	18,3
				CuL	13,6		PbL	9,7
M ⁿ⁺	Форма	lgβ _{ki}				Zn ²⁺	ZnHL ⁺	17,2
Bi ³⁺	BiHL ²⁺	23,1		CuL ₂ ²⁻	22,2		ZnL ₂ ²⁻	17,2
Ca ²⁺	CaL	3,5	Fe ³⁺	FeL ₂ ⁻	21,6	UO ₂ ²⁺	UO ₂ HL ⁺	19,1
			Mn ²⁺	MnL ₂ ²⁻	13,1			

**28. Тайрон, динатриевая соль
1,2-дигидроксibenзол-3,5-
дисульфокислоты
(катехиндисульфокислоты)**



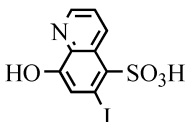
H ⁺	Форма	lgβ _{iH}	M ⁿ⁺	Форма	lgβ _i	M ⁿ⁺	Форма	lgβ _i
	HL ³⁻	12,5	Co ²⁺	CoL ²⁻	8,2	Mn ²⁺	MnL ²⁻	8,6
	H ₂ L ²⁻	20,1		CoL ₂ ⁶⁻	14,4		MnL ₂ ⁶⁻	14,9
M ⁿ⁺	Форма	lgβ _i	Cu ²⁺	CuL ²⁻	12,8	Pb ²⁺	PbL ²⁻	12,0
				CuL ₂ ⁶⁻	23,8		PbL ₂ ⁶⁻	18,3
Al ³⁺	AlL ⁻	19,0	Fe ³⁺	FeL ⁻	20,7	UO ₂ ²⁺	UO ₂ L ²⁻	15,9
	AlL ₂ ⁵⁻	31,1		FeL ₂ ⁵⁻	35,9	Zn ²⁺	ZnL ²⁻	9,0
	AlL ₃ ⁹⁻	33,5		FeL ₃ ⁹⁻	46,9		ZnL ₂ ⁶⁻	16,9
Cd ²⁺	CdL ²⁻	7,7						
	CdL ₂ ⁶⁻	13,3						

29. 1,10-Фенантролин



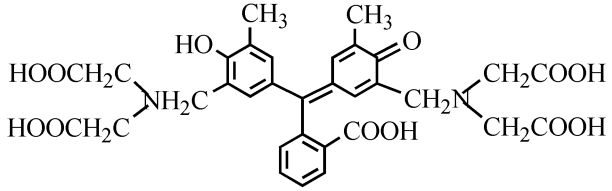
H ⁺	Форма	lgβ _{iH}	M ⁿ⁺	Форма	lgβ _i	M ⁿ⁺	Форма	lgβ _i
	HL ⁺	4,95	Cu ²⁺	CuL ₃ ²⁺	21,35	Ni ²⁺	NiL ²⁺	8,8
M ⁿ⁺	Форма	lgβ _i	Fe ²⁺	FeL ²⁺	5,9		NiL ₂ ²⁺	17,1
	AgL ⁺	5,02		FeL ₂ ²⁺	11,1		NiL ₃ ²⁺	24,8
	AgL ₂ ⁺	12,07		FeL ₃ ²⁺	21,3	Pb ²⁺	PbL ²⁺	5,1
Cd ²⁺	CdL ₂ ²⁺	5,78	Fe ³⁺	FeL ₂ ³⁺	14,1		PbL ₂ ²⁺	7,5
	CdL ₂ ²⁺	10,82	Hg ²⁺	HgL ₂ ²⁺	19,65		PbL ₃ ²⁺	9
	CdL ₃ ²⁺	14,92		HgL ₃ ²⁺	23,35	VO ²⁺	VOL ²⁺	5,47
Co ²⁺	CoL ²⁺	7,25	Mg ²⁺	MgL ²⁺	1,2		VOL ₂ ²⁺	9,69
	CoL ₂ ²⁺	13,95	Mn ²⁺	MnL ²⁺	4,13	Zn ²⁺	ZnL ²⁺	5,65
	CoL ₃ ²⁺	19,90		MnL ₂ ²⁺	7,61		ZnL ₂ ²⁺	12,35
Cu ²⁺	CuL ²⁺	9,25		MnL ₃ ²⁺	10,31		ZnL ₃ ²⁺	17,55
	CuL ₂ ²⁺	16,0						

30. Феррон



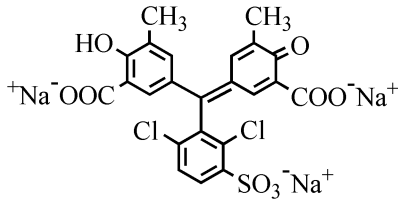
H ⁺	Форма	lgβ _{iH}	M ⁿ⁺	Форма	lgβ _i	M ⁿ⁺	Форма	lgβ _i
	HL ⁻	7,11	Co ²⁺	CoL	6,70	Mn ²⁺	MnL	4,95
	H ₂ L	9,61		CoL ₂ ²⁻	10,87		MnL ₂ ²⁻	8,10
M ⁿ⁺	Форма	lgβ _i	Cu ²⁺	CuL	8,33	Ni ²⁺	NiL	7,70
	AlL ⁺	7,6		CuL ₂ ²⁻	16,58		NiL ₂ ²⁻	13,96
	AlL ₂ ⁻	14,7	Fe ³⁺	FeL ⁺	8,9	Sc ³⁺	ScL ⁺	8,23
	AlL ₃ ³⁻	20,3		FeL ₂ ⁻	17,3	Zn ²⁺	ZnL	7,25
	AlOHL ₂ ²⁺	23,7	Fe ³⁺	FeL ₃ ³⁻	25,2		ZnL ₂ ²⁻	13,40
			La ³⁺	LaL ⁺	4,92	Y ³⁺	YL ⁺	6,23

**31. Фталейн-
комплексон
(крезолфталексон)**



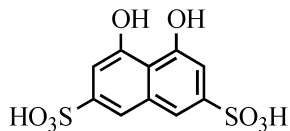
M^{n+}	Форма	$lg\beta_{iH}$	M^{n+}	Форма	$lg\beta_{ki}$	M^{n+}	Форма	$lg\beta_{ki}$		
H^+	HL^{5-}	12,01	Ba^{2+}	BaL^{4-}	6,2	Mg^{2+}	MgL^{4-}	8,9		
	H_2L^{4-}	23,36		$BaHL^{3-}$	16,81		$MgHL^{3-}$	19,5		
	H_3L^{3-}	31,19		BaH_2L^{2-}	25,6		MgH_2L^{2-}	26,96		
	H_4L^{2-}	38,16		BaH_3L^{-}	32,5		MgH_3L^{-}	33,4		
	H_5L^{-}	41,06		Ca^{2+}	CaL^{4-}		7,8	Zn^{2+}	ZnL^{4-}	15,1
	H_6L	43,26			$CaHL^{3-}$		18,9		$ZnHL^{3-}$	25,8
			CaH_2L^{2-}	26,56	ZnH_2L^{2-}	33,56				
			CaH_3L^{-}	33,5	ZnH_3L^{-}	37,2				

32. Хромазуrol S



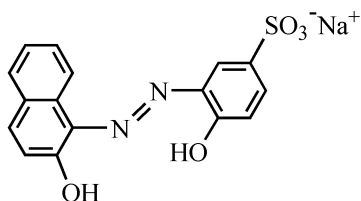
Форма	$lg\beta_{iH}$	M^{n+}	Форма	$lg\beta_{ki}$
HL^{3-}	11,81	Be^{2+}	$BeHL^{-}$	16,57
H_2L^{2-}	16,52	Cu^{2+}	$CuHL^{-}$	15,83
H_3L^{-}	18,77	Fe^{3+}	FeL^{-}	15,6

33. Хромотроповая кислота



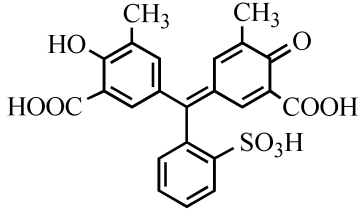
H ⁺	Форма	$lg\beta_{iH}$	M ⁿ⁺	Форма	$lg\beta_{ki}$	M ⁿ⁺	Форма	$lg\beta_{ki}$
	HL ³⁻	15,6	Be ²⁺	BeL ²⁻	16,34	Th ⁴⁺	ThL ⁻	16,46
	H ₂ L ²⁻	20,96		BeL ₂ ⁶⁻	28,19		ThL ₂ ⁴⁻	29,14
M ⁿ⁺	Форма	$lg\beta_i$		BeHL ⁻	18,50	TiO ²⁺	TiOL ₂ ⁶⁻	40,5
Al ³⁺	AlL ⁻	17,4	Cu ²⁺	CuL ²⁻	13,44		TiOL ₃ ¹⁰⁻	56,4
	AlL ₂ ⁵⁻	34,26						

4. Эриохромовый фиолетовый В, натриевая соль 4-гидрокси-3-(2-оксинафтилазо)бензолсульфокислоты



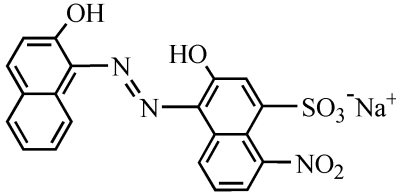
H ⁺	Форма	$lg\beta_{iH}$	M ⁿ⁺	Форма	$lg\beta_i$	M ⁿ⁺	Форма	$lg\beta_i$
	HL ²⁻	13,0	Ca ²⁺	CaL ⁻	6,6	Ni ²⁺	NiL ⁻	15,9
	H ₂ L ⁻	20,0		CaL ₂ ⁴⁻	9,6		NiL ₂ ⁴⁻	26,4
M ⁿ⁺	Форма	$lg\beta_i$	Cu ²⁺	CuL ⁻	21,8	Pb ²⁺	PbL ⁻	12,5
Al ³⁺	AlL	18,4	Mg ²⁺	MgL ⁻	8,6		PbL ₂ ⁴⁻	17,8
	AlL ₂ ³⁻	31,6		MgL ₂ ⁴⁻	13,6	Zn ²⁺	ZnL ⁻	13,5
							ZnL ₂ ⁴⁻	20,9

**35. Эриохромовый
цианиновый R**



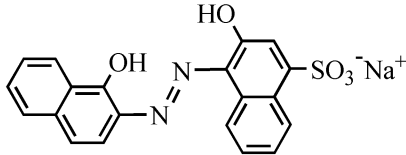
Форма	$lg\beta_{iH}$	M^{n+}	Форма	$lg\beta_{ki}$
HL^{3-}	11,85	Be^{2+}	$BeHL^{-}$	17,34
H_2L^{2-}	17,32	Fe^{3+}	FeL^{-}	17,9
H_3L^{-}	19,62			

**36. Эриохромовый
черный A**



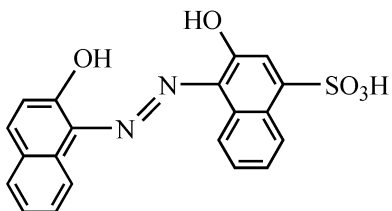
Форма	$lg\beta_{iH}$	M^{n+}	Форма	$lg\beta_i$
HL^{2-}	13,0	Ca^{2+}	CaL^{-}	5,3
H_2L^{-}	19,2	Mg^{2+}	MgL^{-}	7,2

**37. Эриохромовый
черный B**



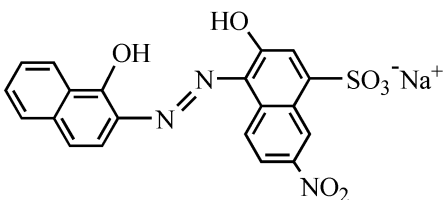
Форма	$lg\beta_{iH}$	M^{n+}	Форма	$lg\beta_i$	M^{n+}	Форма	$lg\beta_i$
HL^{2-}	12,5	Ca^{2+}	CaL^{-}	5,7	Zn^{2+}	ZnL^{-}	12,5
H_2L^{-}	18,7	Mg^{2+}	MgL^{-}	7,4		$Zn(NH_3)L^{-}$	16,4

**38. Эриохромовый
черный R**



Форма	$lg\beta_{iH}$	M^{n+}	Форма	$lg\beta_i$	M^{n+}	Форма	$lg\beta_i$
HL^{2-}	13,5	Ca^{2+}	CaL^-	5,3	Zn^{2+}	ZnL^-	12,5
H_2L^-	20,5	Mg^{2+}	MgL^-	7,6		$Zn(NH_3)L^-$	16,4

**39. Эриохромовый
черный T**



Форма	$lg\beta_{iH}$	M^{n+}	Форма	$lg\beta_i$	M^{n+}	Форма	$lg\beta_i$
HL^{2-}	11,6	Ba^{2+}	BaL^-	3,0	Cu^{2+}	CuL^-	21,4
H_2L^-	17,9	Ca^{2+}	CaL^-	5,4	Mn^{2+}	MnL^-	9,6
H_3L	21,8	Cd^{2+}	CdL^-	12,7		MnL_2^{4-}	17,6
		Co^{2+}	CoL^-	20,0	Pb^{2+}	PbL^-	13,2
		Cu^{2+}	CuL^-	21,4	Zn^{2+}	ZnL^-	12,9
		Mg^{2+}	MgL^-	7,0		ZnL_2^{4-}	20,0